

日本钢管(株)中央研究所 正員 ○関 宏二  
日本钢管(株)中央研究所 正員 大石 博

### 1. はじめに

一般に、埋設管路周辺の地盤が液状化した場合、埋設管路に被害を与える要因としては、①不完全液状化時の地盤の動的な挙動<sup>1), 2)</sup>、②完全液状化時に埋設管路に働く浮力<sup>3)</sup>、③過剰間げき水圧の消散時に生ずる地盤沈下<sup>1), 2)</sup>、④液状化に伴う地すべり（地盤が傾斜している場合）、などが挙げられる。

海底パイプラインのように、構造が直線的であり、剛性が高い場合には、主として、上記②の浮力による影響が大きいと考えられる。南ら<sup>4)</sup>は、浮力が海底パイプラインに及ぼす影響について、解析手法を体系化し、種々の数値計算例を示し、有用な情報を提供している。本報告は、南らと同様の手法を用いて、①液状化した埋め戻し地盤の単位重量の影響、②アースアンカーを用いて浮上防止対策を行なう場合の効果、について検討を行なった結果について述べるものである。

### 2. 解析モデル<sup>4)</sup>

海底パイプラインの埋め戻し地盤が、どのような広がり（または分布）で液状化するかについては、ほとんどわかっていないのが現状であるが、本報告では、図1に示すように、埋め戻し地盤の一部分が液状化する場合について解析する。図2に解析モデルを示す。パイプラインは、同図に示すようにばね支承上の梁として解析する。同図中に示す“ $K_s$  ばね”は、地盤の拘束力を考慮するためのものであり、“ $K_f$  ばね”は、パイプライン上端が海底面よりも上に浮上したときの、パイプラインに働く下向き（または上向き）の力とパイプラインの変位の非線形な関係を考慮するためのばねである。なお、解析にあたっては、荷重増分法を用いている。

### 3. 解析結果

本報告では、呼び径40Bのパイプラインを対象として解析を行なった。表1にその諸元を示す。なお、同表中の単位重量は、パイプラインに石油が充満しているときの値である。 $K_s$  ばねは、地盤の単位面積あたりの地盤反力を1 kg/cm<sup>2</sup>として定めた。また、パイプラインの埋設深さは3 mとした。

#### 3.1 液状化した地盤の単位重量の影響

ここでは、液状化した埋め戻し地盤の単位重量 $\gamma_s$ の大きさによって、パイプラインの挙動がどのように影響されるかを検討する。埋め戻し材料として砂を用いた場合、 $\gamma_s$ の値の上限とし

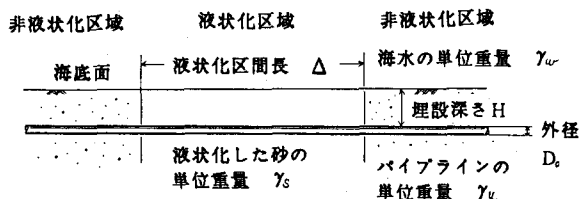


図1 埋め戻し地盤の一部分が液状化する場合の説明図

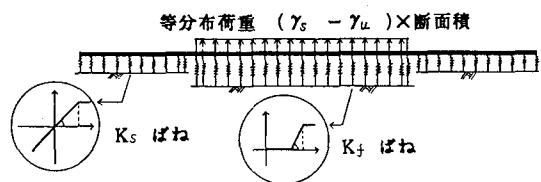


図2 解析モデル

表1 解析の対象としたパイプラインの諸元

外径	管厚	コンクリートコーティング厚	2次モーメント	断面係数	単位重量
101.6 cm	1.6 cm	7.6 cm	$628 \times 10^3 \text{ cm}^4$	$124 \times 10^2 \text{ cm}^3$	$1.7 \text{ g/cm}^3$

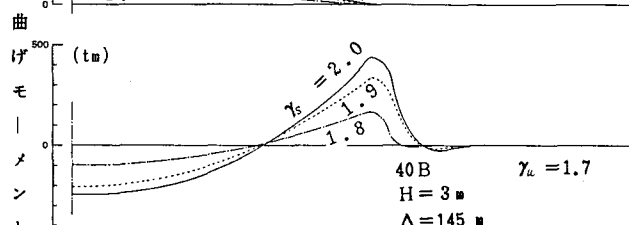
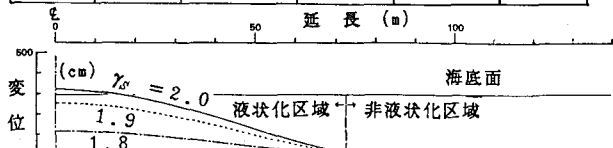


図3 パイプラインの変位と曲げモーメントの分布図

では、 $2 g/cm^3$ 程度と考えられるが、より小さい場合もあると考へて、 $\gamma_s = 2.0, 1.9, 1.8 g/cm^3$ の3ケースについて計算した。

図3に液状化区間長が145mのときの、パイプラインの変位と曲げモーメント分布図を示す。ただし、解析モデルが左右対称なので、中央より右半分のみを表示している。 $\gamma_s = 2.0 g/cm^3$ の場合は、パイプラインは海底面上に現われるが、 $\gamma_s = 1.9, 1.8 g/cm^3$ の場合は、パイプラインは海底面下にとどまる。最大曲げモーメントは、非液状化区域内の液状化区域との境界に近いところに発生する。図4(a)に、 $\gamma_s$ をパラメータとして液状化区間長と最大浮上量の関係を示す。また、図4(b)には、液状化区間長と最大曲げ応力の関係を示す。両図より、液状化した地盤の単位重量により、最大浮上量と最大曲げ応力は、大きな影響を受けることがわかる。

### 3.2 アースアンカーによる液状化対策<sup>2)</sup>

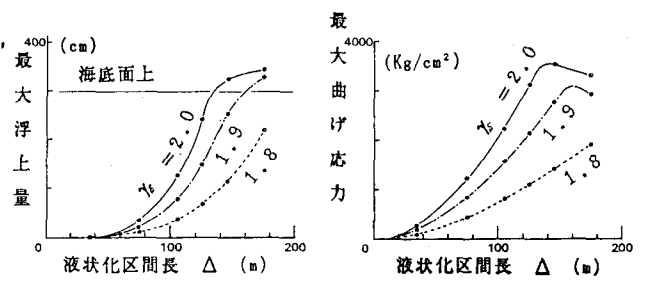
液状化時の浮力に対する対策として、アースアンカー（または杭）によって浮上を防止する工法がある。図5は、アースアンカーを、30, 40, 50mの間隔で設置した場合の、パイプラインの変位と曲げモーメントの分布図である。ただし、液状化区間長175m、 $\gamma_s = 2.0 g/cm^3$ とした。アースアンカーは、弾性ばねでモデル化した。最大曲げモーメントはアンカー取り付け点で発生しているが、値は非常に小さい。図6(a)に、アンカーの設置間隔と最大浮上量の関係を示す。また、図6(b)に、アンカーの設置間隔と最大曲げ応力の関係を示す。両図より、アースアンカーを用いることにより、何も対策をしない場合（図4）に比べて、最大浮上量、最大曲げモーメントを著しく低減できることがわかる。

## 4. むすび

本報告で述べたような解析では、液状化区間長や、液状化した埋め戻し地盤の単位重量の値が大きく影響する。したがって、解析を行なう場合には、これらの値の決定に十分な注意を払う必要があろう。

## 5. 参考文献

- 1) 北浦・宮島・松村： 液状化時の地中埋設管の応答解析、第17回地震工学研究発表会、1983.7, pp.303-306.
- 2) 大石・関口： 埋設管路の液状化対策工法に関する実験的考察、同上、pp.295-298.
- 3) 土木学会： 王子製紙㈱専用工業用水道の被害、1968年十勝沖地震調査報告、1969.3, pp.565-569.
- 4) 南・清宮・土田： 液状化が海底パイプラインの応力度に及ぼす影響、港湾技研資料、No.441, 1983.5.



(a)最大浮上量～液状化区間長 (b)最大曲げ応力～液状化区間長

図4 液状化した埋め戻し地盤の単位重量の影響

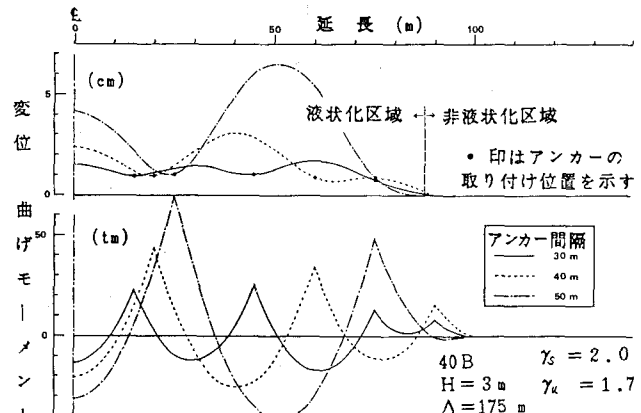
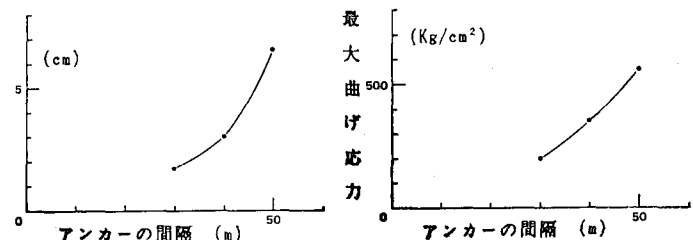


図5 パイプラインの変位と曲げモーメントの分布図



(a)最大浮上量～アンカーの間隔 (b)最大曲げ応力～アンカーの間隔

図6 アースアンカーによる液状化対策効果